## 霧化塗布法(CMD)による PEDOT:PSS 製膜と結晶 Si 系太陽電池性能

Chemical mist deposition of PEDOT:PSS and its application to c-Si/PEDOT:PSS solar cells

埼玉大理工研  $^1$ 、東洋大ナノバイオ  $^2$  <u>黒木宇紀  $^1$ </u>、竇佳楽  $^1$ 、石川龍馬  $^1$ 、J. Hossain  $^1$ 、A.T.M. Islam  $^1$ 、花尻達郎  $^2$ 、中島義賢  $^2$ 、藤井康彦  $^2$ 、徳田正秀  $^2$ 、石川良  $^1$ 、白井肇  $^1$ 

Saitama U.<sup>1</sup>, Toyo U.<sup>2</sup>,T. Kuroki<sup>1</sup>, J. Dou<sup>1</sup>, R. Ishikawa<sup>1</sup>, J. Hossain<sup>1</sup>, A.T.M. Islam<sup>1</sup>, T. Hanajiri<sup>2</sup>,

Y. Fujii<sup>2</sup>, M. Tokuda<sup>2</sup>, M. Tokuda<sup>2</sup>, R. Ishikawa<sup>1</sup>, and H. Shirai<sup>1</sup>

1. はじめに:これまで PEDOT:PSS の帯電ミストを利用した導電性高分子 PEDOT:PSS および無機系微粒子のテクスチャーSi 上への気相成長法を検討してきた。その結果 1) 負の帯電ミストが主な前駆体であること、2) 基板バイアス  $V_s$  印加によりミストの微細化・高速化が可能、3) テクスチャーSi 上への導電性高分子 PEDOT:PSS の高密着性塗布が可能であることを報告してきた。今回は帯電ミストによる Si 終端化と太陽電池性能の関連について考察した。

**2.実験**: 3MHz のアトマイザー上に 5wt% EG 添加 PEDOT:PSS 溶液を設置し、 $N_2$ キャリアガス流量、基板温度( $T_s$ )および膜厚を変数として帯電ミストを発生させ、窒素をキャリアガスとして平坦・テクスチャーSi(1-5  $\Omega$ ・cm)基板上に輸送した。この際 Si 基板直上 2cmの位置に設置したメッシュ電極と Si 基板間に直流バイアス  $V_s$  を印加してミストの微細化・基板流入速度を制御した。ミスト輸送は高速カメラ、膜の評価は顕微鏡観察により行った。また c-Si 終端化はキャリアライフタイム: $\tau_m$ 計測、太陽電池は PEDOT:PSS/c-Si、裏面 InGa の素子構造で、ソーラーシミュレータにより評価した。

**3.結果と考察**: 図 1 は  $T_s$  に対する表面形態の変化と Si 基板上の PEDOT:PSS 膜の被覆率とキャリアライフタイム: $\tau_m$  の基板温度依存性を示す。図 2 は  $T_s$  に対する太陽電池 I-V 特性示す。被覆率とキャリアライフタイムの対応関係が見られ、また変換効率  $\eta$  は 5.1 から 8.9%に向上した。

**4.結論**: CMD 法による PEDOT:PSS による Si 終端化と太陽電池性能との関連を調査した。 溶媒離脱に伴う PEDOT:PSS の塗布形態が  $\tau_m$ 、太陽電池性能に直結することが分かった。

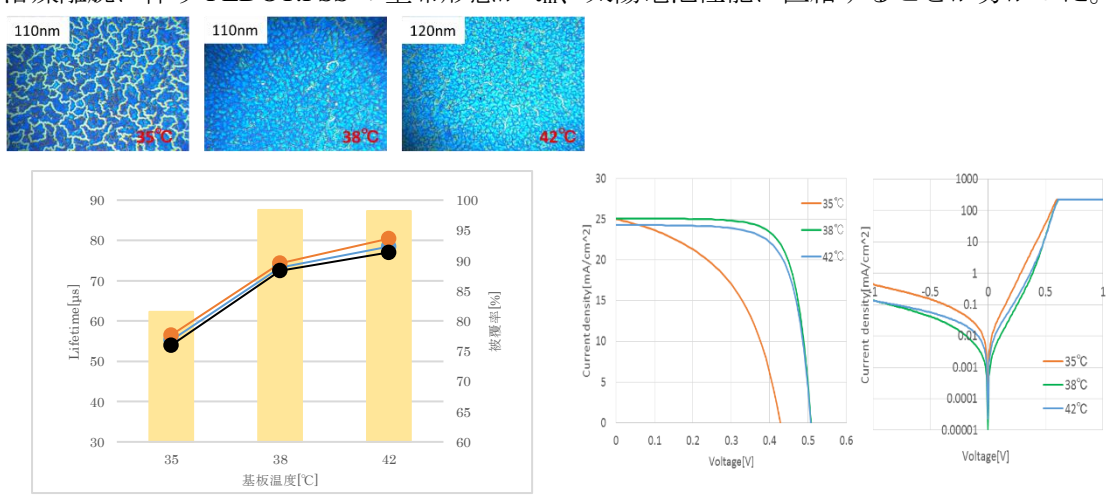


図1:T。に対する表面形態、τmと被覆率の関係

図2::Tsに対する太陽電池のI-V特性